

МАГНИТОРЕЗОНАНСНЫЕ И ТЕПЛОФИЗИЧЕСКИЕ ИССЛЕДОВАНИЯ МАГНИТНОЙ ФАЗОВОЙ ДИАГРАММЫ МОНОКРИСТАЛЛА $\text{GdFe}_{2.1}\text{Ga}_{0.9}(\text{BO}_3)_4$

A. И. Панкрац, Г. А. Петраковский, В. И. Тугаринов*, А. В. Карташев, В. Л. Темеров

*Институт физики им. Л. В. Киренского Сибирского отделения Российской академии наук
660036, Красноярск, Россия*

Поступила в редакцию 30 декабря 2010 г.

Исследованы антиферромагнитный резонанс, теплоемкость, магнитные свойства и магнитная фазовая диаграмма кристалла $\text{GdFe}_3(\text{BO}_3)_4$, в котором часть ионов железа была замещена диамагнитными ионами галлия. Обнаружено, что температура Нееля при диамагнитном замещении уменьшилась до 17 К по сравнению с 38 К в незамещенном кристалле. Из полевых зависимостей намагниченности и резонансных измерений сделана оценка эффективных полей обмена и анизотропии для $\text{GdFe}_{2.1}\text{Ga}_{0.9}(\text{BO}_3)_4$. По данным магнитных и резонансных измерений построена магнитная фазовая диаграмма кристалла. В $\text{GdFe}_{2.1}\text{Ga}_{0.9}(\text{BO}_3)_4$ спонтанная переориентация отсутствует, и в отсутствие магнитного поля кристалл остается легкоосным во всей области магнитного упорядочения. Обнаружено увеличение критического поля ориентационного перехода в индуцированное легкоплоскостное состояние в магнитном поле вдоль тригональной оси по сравнению с аналогичной величиной в незамещенном кристалле.

1. ВВЕДЕНИЕ

Соединения боратов с общей формулой $\text{RA}_3(\text{BO}_3)_4$ (R^{3+} — редкоземельный ион или Y^{3+} и $\text{A} = \text{Al}, \text{Ga}, \text{Sc}, \text{Cr}, \text{Fe}$) привлекли внимание как среды для нелинейной оптики и лазерной техники [1–3]. Они кристаллизуются в тригональной сингонии и имеют структуру минерала хантита с высокотемпературной пространственной группой $R\bar{3}2$, которая для кристаллов с малым ионным радиусом R^{3+} при понижении температуры переходит в $P\bar{3}_121$. В кристаллах с $\text{A} = \text{Fe}$ и $\text{R} = \text{Pr}, \text{Nd}, \text{Sm}, \text{Eu}, \text{Gd}, \text{Tb}, \text{Dy}, \text{Ho}, \text{Er}$ обнаружены свойства мультиферроиков [4–7]. Магнитоэлектрический эффект возможен только при определенной магнитной структуре, которая в данном случае определяется существованием двух магнитных подсистем ионов железа и редкоземельных ионов, связанных обменным взаимодействием. Этим стимулируется интерес к исследованию зависимости магнитных свойств редкоземельных ферроборатов от иона R^{3+} .

Исследования АФМР [8] и нейтронные исследования магнитной структуры [9] в $\text{YFe}_3(\text{BO}_3)_4$ показывают, что подсистема железа представляет собой

легкоплоскостной антиферромагнетик с температурой Нееля $T_N = 38$ К. В редкоземельной подсистеме обменное взаимодействие слабо, однако благодаря взаимодействию редкоземельных ионов с ионами Fe^{3+} магнитный порядок в обеих подсистемах наступает одновременно [8, 10]. Энергия анизотропии редкоземельной подсистемы может иметь тот же знак, что и железная, а может быть легкоосной, что обуславливает возможность реализации ряда магнитных структур кристаллов в зависимости от иона R^{3+} . Особенно интересны в этом плане ферробораты с $\text{R} = \text{Gd}, \text{Ho}$. В ферроборате гадолиния $\text{GdFe}_3(\text{BO}_3)_4$ вклады редкоземельной и железной подсистем имели противоположные знаки и близки по абсолютной величине [8, 11]. Поэтому магнитная структура этого кристалла очень чувствительна к действию таких факторов, как температура, магнитное поле, замещение ионами другого сорта в обеих подсистемах, изменяющих соотношение вкладов в полную анизотропию. Различие их температурных зависимостей (данные АФМР [8]) приводит к спонтанному спин-переориентационному переходу в $\text{GdFe}_3(\text{BO}_3)_4$ с $T_{SR} = 10$ К. Магнитные фазовые диаграммы этого кристалла для магнитных полей, ориентированных вдоль оси кристалла и в

*E-mail: vit@iph.krasn.ru

базисной плоскости, построены по данным АФМР [11], магнитным [12], магнитострикционным измерениям и магнитоэлектрическим измерениям [4]. В $\text{HoFe}_3(\text{BO}_3)_4$ спонтанный ориентационный переход происходит при $T_{SR} = 4.7$ К [9], магнитные фазовые диаграммы приведены в работе [13].

Магнитные свойства частично и полностью замещенной диамагнитным ионом Y^{3+} гадолиниевой подсистемы в $\text{GdFe}_3(\text{BO}_3)_4$ были изучены в работе [8]. Представляет интерес изучение влияния замещения диамагнитной примесью подсистемы железа, поскольку в этом случае меняется не только вклад этой подсистемы в магнитную анизотропию кристалла, но и обменное взаимодействие, которое принципиально важно для установления магнитного порядка в кристалле. В работе [14] были исследованы статические магнитные свойства галлий-замещенного ферробората гадолиния $\text{GdFe}_{0.9}\text{Ga}_{2.1}(\text{BO}_3)_4$. На температурной зависимости намагниченности в области $T = 15$ К была обнаружена аномалия, природа которой не была объяснена. В данной работе исследованы магнитный резонанс и теплоемкость соединения $\text{GdFe}_{2.1}\text{Ga}_{0.9}(\text{BO}_3)_4$. Вблизи температуры 17 К обнаружена аномалия теплоемкости, вызванная переходом в магнитоупорядоченное состояние диамагнитно разбавленной подсистемы железа. Установлено, что во всей области магнитного порядка кристалл остается легкоосным. В магнитном поле, приложенном вдоль тригональной оси кристалла, обнаружен переход в индуцированное легкоплоскостное состояние, построена фазовая диаграмма для этой ориентации поля. Сделаны оценки эффективных полей магнитной анизотропии и обменного взаимодействия для разбавленной подсистемы железа.

2. ЭКСПЕРИМЕНТАЛЬНЫЕ РЕЗУЛЬТАТЫ

Монокристаллы $\text{GdFe}_{2.1}\text{Ga}_{0.9}(\text{BO}_3)_4$ были выращены по технологии, описанной в работе [15]. Измерения спектров АФМР проводились на образцах размером до $3 \times 3 \times 3$ мм³ с хорошей огранкой. Грань в виде равностороннего треугольника, совпадающая с базисной плоскостью кристалла, использовалась для ориентирования кристаллов. Резонансные свойства изучены в диапазоне частот 25–80 ГГц в интервале температур 4.2–60 К в магнитных полях $\mathbf{H} \parallel \mathbf{c}$ и $\mathbf{H} \perp \mathbf{c}$ на спектрометре магнитного резонанса с импульсным магнитным полем [16]. Измерения теплоемкости были выполнены на монокристаллическом образце размером $2 \times 2 \times 1$ мм³ на PPMS-8.

При температуре 4.2 К для магнитного по-

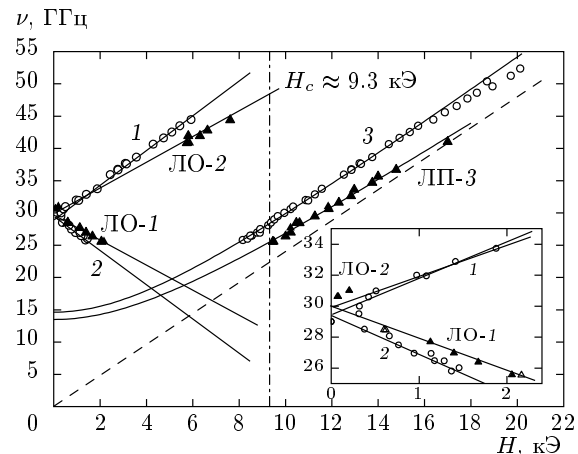


Рис. 1. Частотно-полевые зависимости АФМР при $T = 4.2$ К при $\mathbf{H} \parallel \mathbf{c}$: кривые 1, 2, 3 — ветви для $\text{GdFe}_3(\text{BO}_3)_4$ [11], ЛО-1, ЛО-2, ЛП-3 — ветви для $\text{GdFe}_{2.1}\text{Ga}_{0.9}(\text{BO}_3)_4$. Штриховая линия — ветвь парамагнитного резонанса, штрихпунктирная — критическое поле в $\text{GdFe}_{2.1}\text{Ga}_{0.9}(\text{BO}_3)_4$. На вставке: ветви 1, 2 и ЛО-1, ЛО-2 в области начального расщепления спектра

ля, ориентированного вдоль тригональной оси, в $\text{GdFe}_{0.9}\text{Ga}_{2.1}(\text{BO}_3)_4$ наблюдаются те же ветви колебаний (рис. 1), что и в незамещенном $\text{GdFe}_3(\text{BO}_3)_4$ [11]. Для сравнения частотно-полевые зависимости спектров АФМР в $\text{GdFe}_3(\text{BO}_3)_4$ также приведены на рис. 1. В области малых полей две ветви колебаний ЛО-1 и ЛО-2 с линейной зависимостью частот от магнитного поля являются колебаниями легкоосного антиферромагнетика. При достижении некоторого критического значения поля H_c , показанного на рис. 1 штрихпунктирной линией, резонансные ветви ЛО-1 и ЛО-2 пропадают, и вместо них в полях $H > H_c$ наблюдается единственная ветвь колебаний со щелью, незначительно изменившуюся по сравнению со щелью в незамещенном кристалле. Эту ветвь колебаний нельзя рассматривать как спин-флоп-моду легкоосного антиферромагнетика, так как частота этой моды не равна нулю в поле перехода и сама ветвь располагается не ниже линейной частотно-полевой зависимости для парамагнитного резонанса (штриховая линия на рисунке), как должно быть в случае спин-флоп-резонанса, а выше нее. Такое поведение резонанса, характерное для области полей выше критических как в чистом, так и в диамагнитно разбавленном гадолиниевом ферроборате, дает эмпирические основания идентифицировать эту резонансную моду как колебания легкоплоскостного

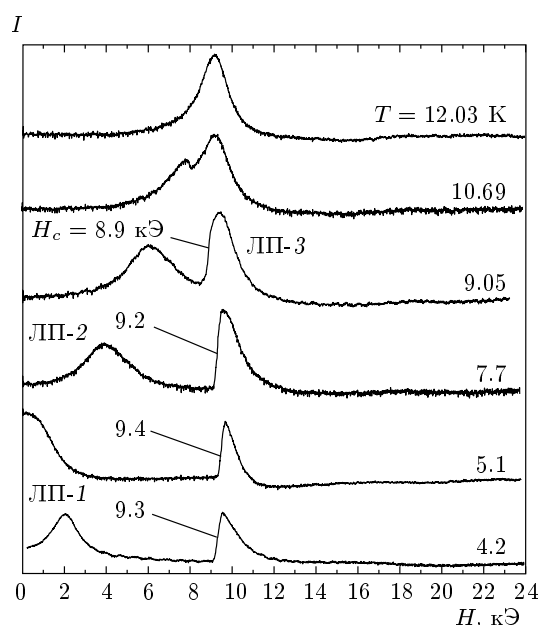


Рис. 2. Температурная эволюция резонансного спектра в $\text{GdFe}_{2.1}\text{Ga}_{0.9}(\text{BO}_3)_4$ при $\nu = 25.56 \text{ ГГц}$, $\mathbf{H} \parallel \mathbf{c}$

антиферромагнетика с некоторым новым значением эффективного поля анизотропии.

Таким образом, фазовый переход при $H = H_c$ можно рассматривать как спин-переориентационный переход из легкоосного в индуцированное полем легкоплоскостное состояние.

Критическое поле спин-переориентационного перехода «легкая ось—легкая плоскость» в результате разбавления галлием при $T = 4.2 \text{ К}$ выросло с $H_c = 6 \text{ кЭ}$ до $H_c = 9.3 \text{ кЭ}$. Выше этого поля, как видно на рис. 2, появляется новая ветвь колебаний ЛП-3 (рис. 1). Эта ветвь близка к ветви колебаний в индуцированном легкоплоскостном состоянии в $\text{GdFe}_3(\text{BO}_3)_4$ с практически не изменившейся величиной начального расщепления.

На рис. 2 приведены изменения с температурой спектров АФМР в $\text{GdFe}_{2.1}\text{Ga}_{0.9}(\text{BO}_3)_4$ в интервале температур 4.2–12 К на частоте 25.56 ГГц в магнитном поле $\mathbf{H} \parallel \mathbf{c}$. При температуре 4.2 К наблюдаются две линии резонансного поглощения. Обозначения рядом с линиями соответствуют обозначениям на частотно-полевой зависимости на рис. 1. Величина резонансного поля линии ЛО-1 с ростом температуры плавно уменьшается до нуля при $T \approx 5 \text{ К}$ (рис. 3). Резонансное поле линии ЛО-2, которая появляется выше $T = 5 \text{ К}$, плавно растет почти до величины резонансного поля параметрического состояния (рис. 3). Линия ЛП-3 при низких температурах прописывает-

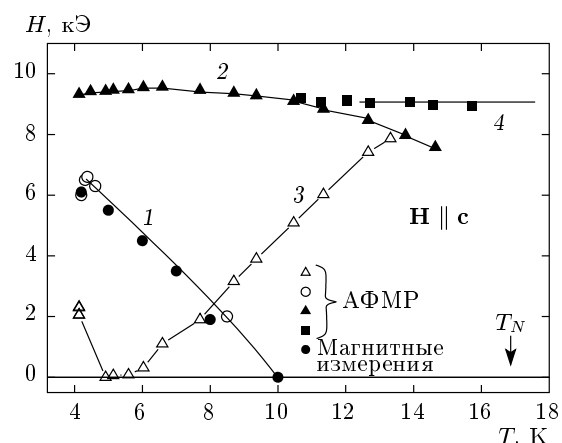


Рис. 3. Температурные зависимости критических полей для $\mathbf{H} \parallel \mathbf{c}$: кривая 1 — в $\text{GdFe}_3(\text{BO}_3)_4$ [11], 2 — в $\text{GdFe}_{2.1}\text{Ga}_{0.9}(\text{BO}_3)_4$. Температурные зависимости резонансных полей в $\text{GdFe}_{2.1}\text{Ga}_{0.9}(\text{BO}_3)_4$: кривая 3 — ветви ЛО-1 и ЛО-2; кривая 4 — ветвь ЛП-3. Данные получены при $\nu = 25.56 \text{ ГГц}$

ся не полностью, так как соответствующее ей поглощение обрывается в критическом поле H_c , из-за чего определить величину резонансного поля при этих температурах затруднительно. Эта особенность в виде обрыва линии для галлий-замещенного кристалла наблюдается вплоть до температуры 12 К благодаря большой ширине линии резонансного поглощения ($\Delta H \approx 1.5 \text{ кЭ}$ при $T = 4.2 \text{ К}$) и очень слабой зависимости поля перехода H_c от температуры. Из характера температурной зависимости резонансных полей линий ЛО-1, ЛО-2, ЛП-3 можно сделать вывод о том, что с ростом температуры величина щели монотонно уменьшается как для легкоосного, так и для легкоплоскостного состояний.

На основании анализа спектров магнитного резонанса были построены температурные зависимости величины резонансного поля для ветвей ЛО-1, ЛО-2, ЛП-3 и критического поля перехода «легкая ось—легкая плоскость» в Ga-замещенном $\text{GdFe}_3(\text{BO}_3)_4$ для $\mathbf{H} \parallel \mathbf{c}$ (рис. 3). Здесь же для сравнения приведены данные для незамещенного $\text{GdFe}_3(\text{BO}_3)_4$, взятые из работы [11]. Видно, что для этого направления магнитного поля критическое поле перехода в индуцированное легкоплоскостное состояние увеличилось по сравнению с незамещенным гадолиниевым ферроборатом. Кроме того, фазовая граница в $\text{GdFe}_{2.1}\text{Ga}_{0.9}(\text{BO}_3)_4$ по сравнению с незамещенным кристаллом имеет очень слабую температурную зависимость, так что тенденции к спонтанному спин-переориентационному

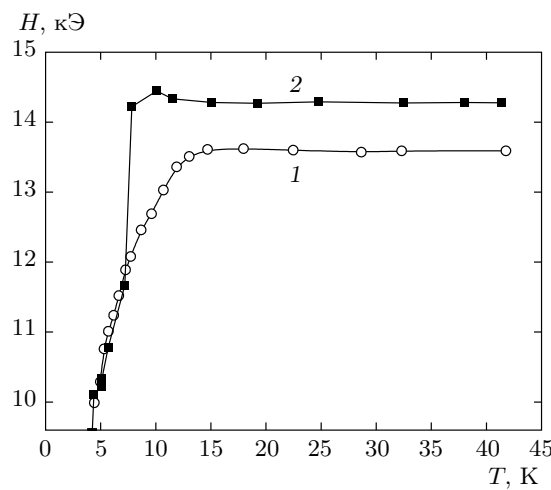


Рис. 4. Температурные зависимости резонансных полей в $GdFe_{2.1}Ga_{0.9}(BO_3)_4$ (1) и $GdFe_3(BO_3)_4$ [11] (2) соответственно при $\nu = 37.63$ ГГц и $\nu = 38.63$ ГГц, $\mathbf{H} \perp \mathbf{c}$

переходу в легкоплоскостное состояние в этом кристалле не обнаружено. Температурная зависимость резонансного поля в легкоосном состоянии (кривая 3), измеренная на частоте 25.56 ГГц, имеет вид, аналогичный зависимости для незамещенного ферробората гадолиния [11]. Зависимость резонансного поля от частоты в индуцированном полем легкоплоскостном состоянии для $\mathbf{H} \parallel \mathbf{c}$ вблизи температуры перехода близка к зависимости для ЭПР, поэтому на температурной зависимости резонансных параметров для этой ветви колебаний (линия 4, рис. 3) не наблюдается никаких особенностей, кроме уширения линии при переходе в парамагнитное состояние.

Температурная зависимость резонансного поля $GdFe_{2.1}Ga_{0.9}(BO_3)_4$ для магнитного поля $\mathbf{H} \perp \mathbf{c}$ приведена на рис. 4. На этом же рисунке для сравнения представлена температурная зависимость резонансного поля в $GdFe_3(BO_3)_4$, снятая на близкой частоте [11]. Видно, что в $GdFe_3(BO_3)_4$ наблюдается скачок резонансного поля, вызванный переходом в индуцированное легкоплоскостное состояние. Для $GdFe_{2.1}Ga_{0.9}(BO_3)_4$ ситуация иная: скачок не наблюдается, резонансное поле плавно выходит на плато при $T \approx 16$ К и не меняется с дальнейшим повышением температуры.

На рис. 5 изображены зависимости теплоемкости $GdFe_{2.1}Ga_{0.9}(BO_3)_4$ от температуры для различных значений магнитного поля. На рисунке видно, что аномалия теплоемкости при температуре примерно

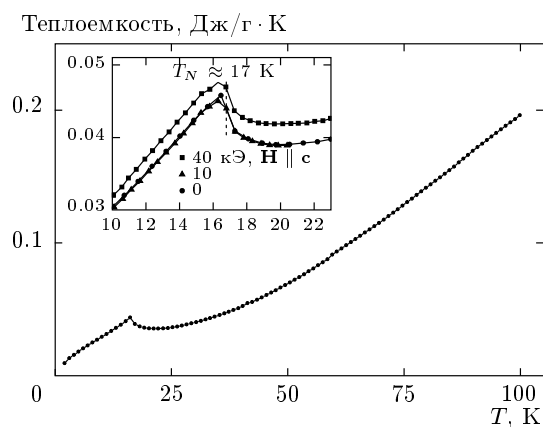


Рис. 5. Температурная зависимость теплоемкости в $GdFe_{2.1}Ga_{0.9}(BO_3)_4$. На вставке: температурные зависимости теплоемкости в области перехода для различных направлений и величин магнитного поля

17 К имеет типичный вид λ -пика и практически не зависит от величины и направления магнитного поля.

3. ОБСУЖДЕНИЕ РЕЗУЛЬТАТОВ

Наличие только одного λ -пика в диапазоне температур до 300 К позволяет с уверенностью говорить о том, что эта температура 17 К является температурой Нееля для данного соединения. Температурная зависимость теплоемкости чистого $GdFe_3(BO_3)_4$ приведена в работе [17], сравнение показывает, что температура Нееля при разбавлении подсистемы железа снизилась с 38 К более, чем в два раза. Этот вывод подтверждается измерениями намагниченности, в которых наблюдается аномалия при температуре близкой к 15 К, никаких аномалий выше этой температуры не обнаружено [14]. Температурные зависимости резонансных полей также показывают выход на плато, соответствующее линии ЭПР. Уменьшение температуры Нееля вполне закономерно, оно обусловлено уменьшением обменного поля для подсистемы железа при диамагнитном разбавлении. Подобная ситуация наблюдалась при диамагнитном разбавлении в других кристаллах (например, в $Rb_2Mn_xCd_{1-x}Cl_4$ температура Нееля при разбавлении до $x = 0.7$ снизилась с 56 К до 10.7 К [18]).

Построенная по данным теплоемкости, резонансных и магнитных измерений магнитная фазовая

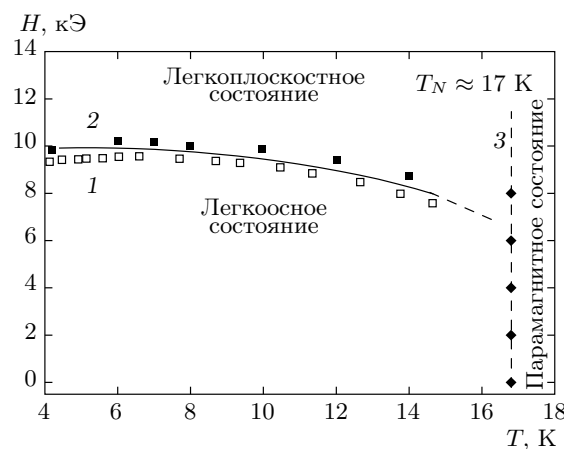


Рис. 6. Магнитная фазовая диаграмма в $\text{GdFe}_{2.1}\text{Ga}_{0.9}(\text{BO}_3)_4$, построенная по данным АФМР (1), статических магнитных измерений (2) и теплоемкости (3)

диаграмма (рис. 6) в $\text{GdFe}_{2.1}\text{Ga}_{0.9}(\text{BO}_3)_4$ для случая $\mathbf{H} \parallel \mathbf{c}$ содержит три состояния: парамагнитное выше $T_N = 17 \text{ K}$, легкоосное и индуцированное легкоплоскостное соответственно ниже и выше фазовой границы. Таким образом, разбавление не только снизило температуру Нееля, но и существенно изменило фазовую диаграмму $\text{GdFe}_3(\text{BO}_3)_4$. Основным отличием является отсутствие спонтанного перехода «легкая ось—легкая плоскость», тогда как в чистом ферроборате гадолиния спонтанный переход наблюдается при $T = 10 \text{ K}$ (рис. 3). Фазовая граница между индуцированным легкоплоскостным и легкоосным состояниями расположена выше (при $T = 4.2 \text{ K}$ $H_c = 10 \text{ кЭ}$ в $\text{GdFe}_{2.1}\text{Ga}_{0.9}(\text{BO}_3)_4$ и $H_c = 6 \text{ кЭ}$ в $\text{GdFe}_3(\text{BO}_3)_4$) и в отличие от $\text{GdFe}_3(\text{BO}_3)_4$ имеет очень слабую зависимость от температуры. В разбавленном кристалле для магнитного поля $\mathbf{H} \perp \mathbf{c}$ индуцированное легкоплоскостное состояние не обнаружено в полях вплоть до 60 кЭ. Все эти факты говорят о сильном изменении внутренних эффективных полей обмена и анизотропии, оценка которых может быть сделана, исходя из анализа данных магнитного резонанса и намагниченности.

Следует отметить, что на данный момент последовательная модель описания индуцированных полем спин-переориентационных переходов в гадолиниевом ферроборате (как в чистом, так и в диамагнитно разбавленном) отсутствует. Поэтому приведенная здесь идентификация состояний фазовой диаграммы основана на эмпирическом подходе. Как отмечалось выше, полная магнитная анизотропия

кристалла $\text{GdFe}_3(\text{BO}_3)_4$ определяется конкуренцией близких по абсолютной величине и имеющих противоположные знаки вкладов подсистем ионов Fe^{3+} и Gd^{3+} . В этом случае даже незначительное изменение одного из вкладов приводит к существенному изменению их баланса, поэтому магнитная структура гадолиниевого ферробората весьма чувствительна и к влиянию магнитного поля, и к диамагнитному защемлению в одной из подсистем. Похожая ситуация наблюдается в ферроборате гольмия, в котором конкуренция близких по величине вкладов также приводит к спонтанному переходу между легкоосным и легкоплоскостным состояниями при $T_{SR} = 4.7 \text{ K}$ и зависимости температуры перехода от магнитного поля, приложенного вдоль оси кристалла и в базисной плоскости [9, 13]. В работе [19] в рамках модели кристаллического поля для иона Ho^{3+} и в приближении молекулярного поля удалось количественно описать как спонтанный, так и индуцированные полем спин-переориентационные переходы между легкоосным и легкоплоскостным состояниями в $\text{HoFe}_3(\text{BO}_3)_4$. Проведенные в работе расчеты показывают, что в рамках рассмотренной модели магнитоанизотропный вклад подсистемы гольмия зависит от приложенного магнитного поля, что и приводит к изменению знака полной анизотропии кристалла в критическом поле. По-видимому, аналогичный механизм спин-переориентационного перехода работает и в ферроборате гадолиния.

Магнитный резонанс в гадолиниевом ферроборате в области магнитного порядка определяется связанными колебаниями магнитных моментов ионов Fe^{3+} и магнитных моментов ионов Gd^{3+} , поляризованных обменным взаимодействием с упорядоченной подсистемой железа. Однако собственные частоты железной и гадолиниевой подсистем силь но разнесены (по данным работы [20] собственные частоты подсистемы гадолиния лежат в диапазоне 420–510 ГГц), поэтому наблюдаемый в нашем случае резонансный отклик определяется преимущественно подсистемой железа, и вполне допустимо для описания ветвей колебаний использовать выражения для классического двухподрешеточного антиферромагнетика [21], как было сделано в работе [11]. При этом роль редкоземельной подсистемы сводится к тому, что ее вклад изменяет суммарную величину эффективного поля магнитной анизотропии. Ветви частотно-полевой зависимости (рис. 1) в магнитном поле $\mathbf{H} \parallel \mathbf{c}$ ЛО-1 и ЛО-2, наблюдавшиеся в полях меньше критического ($H < H_c$), хорошо описываются выражениями для антиферромагнетика с легкой осью

анизотропии:

$$\frac{\nu_{1,2}}{\gamma_{\parallel}} = \sqrt{(2H_E + H_A)H_A} \pm H_0 \left(1 - \frac{\chi_{\parallel}}{2\chi_{\perp}} \right). \quad (1)$$

Что касается ветви колебаний ЛП-3 в полях выше критических, то в соответствии с указанными выше эмпирическими основаниями эти колебания аппроксимированы формулой для легкоплоскостного антиферромагнетика:

$$\left(\frac{\nu_3}{\gamma_{\parallel}} \right)^2 = 2H_E|H'_A| + H_0^2. \quad (2)$$

В формулах использованы следующие обозначения: H_0 — напряженность внешнего магнитного поля, H_A и H'_A — эффективные поля магнитной анизотропии относительно оси **c** кристалла, имеющие разные знаки и величину в легкоосном и индуцированном полем легкоплоскостном состояниях, H_E — обменное поле, γ — гиромагнитное отношение, χ_{\parallel} и χ_{\perp} — магнитные восприимчивости вдоль главной оси и в базисной плоскости. На рис. 1 сплошными линиями показаны теоретические зависимости (1) для ветвей колебаний ЛО-1 и ЛО-2 со следующими параметрами: $\nu_c = 30.0$ ГГц, $\gamma_{\parallel}(1-\chi_{\parallel}/2\chi_{\perp}) = 2.0$ МГц/Э. Если воспользоваться значением $\gamma_{\parallel} = 2.808$ МГц/Э, полученным из ЭПР при комнатной температуре, то отношение восприимчостей $\chi_{\parallel}/(2\chi_{\perp}) = 0.29$ (это близко к экспериментальному значению, равному примерно 0.3, по данным [14]), что существенно выше, чем в незамещенном $\text{GdFe}_3(\text{BO}_3)_4$, где это отношение равно 0.083. Как большое различие величин $\chi_{\parallel}/(2\chi_{\perp})$, так и уменьшение температуры Нееля связаны с уменьшением обменного поля при диамагнитном разбавлении.

В легкоосном состоянии начальное расщепление спектра ν_c в $\text{GdFe}_{2.1}\text{Ga}_{0.9}(\text{BO}_3)_4$ при температуре 4.2 К по сравнению с ферроборатом гадолиния увеличилось на незначительную величину, около 1 ГГц. Этому можно дать следующее качественное объяснение. В легкоосном состоянии вклад подсистемы гадолиния в суммарную анизотропию кристалла превышает по абсолютной величине вклад подсистемы железа, а частичное замещение ионов железа диамагнитными ионами Ga^{3+} дополнительно уменьшает этот вклад, что приводит к увеличению суммарного поля анизотропии. С другой стороны, диамагнитное замещение подсистемы железа уменьшает обменное поле. Конкуренция этих двух факторов приводит к тому, что величина энергетической щели при разбавлении осталась практически неизменной, однако температурная зависимость щели изменяется.

Сравним температурные зависимости резонансного поля на рис. 4 в чистом и Ga-замещенном $\text{GdFe}_3(\text{BO}_3)_4$ для ориентации поля $\mathbf{H} \perp \mathbf{c}$. Для незамещенного $\text{GdFe}_3(\text{BO}_3)_4$ на температурной зависимости резонансного поля наблюдается скачок в области 8 К, соответствующий переходу из легкоосного в легкоплоскостное состояние [11], после чего резонансное поле не меняется, так как частотно-полевые зависимости для этой ветви АФМР и ЭПР совпадают. В $\text{GdFe}_{2.1}\text{Ga}_{0.9}(\text{BO}_3)_4$ в диапазоне температур 4.2–16 К наблюдается плавный рост резонансного поля до значения, соответствующего ЭПР. Таким образом, энергетическая щель плавно уменьшается с ростом температуры, достигая нулевого значения при температуре Нееля. Отсутствие скачка резонансного поля говорит о том, что в кристалле $\text{GdFe}_{2.1}\text{Ga}_{0.9}(\text{BO}_3)_4$ в магнитном поле $\mathbf{H} \perp \mathbf{c}$ вплоть до температуры Нееля не наблюдается переход в индуцированное легкоплоскостное состояние, по крайней мере, в магнитных полях до 60 кЭ. Слабая температурная зависимость критического поля перехода в индуцированное состояние при $\mathbf{H} \parallel \mathbf{c}$ вплоть до температуры Нееля говорит об отсутствии спонтанного перехода «легкая ось—легкая плоскость», что подтверждается данными магнитных измерений [14].

Оценим величины полей анизотропии и обмена в $\text{GdFe}_{2.1}\text{Ga}_{0.9}(\text{BO}_3)_4$ при температуре 4.2 К, используя данные магнитного резонанса и статических магнитных измерений [14]. Обменное поле для подсистемы железа можно получить из выражения для магнитной восприимчивости χ_{\perp} антиферромагнетика

$$\chi_{\perp} = \frac{M_s}{2H_E}. \quad (3)$$

Для определения величины восприимчивости диамагнитно-разбавленной подсистемы железа в $\text{GdFe}_{2.1}\text{Ga}_{0.9}(\text{BO}_3)_4$ использованы данные статических магнитных измерений в кристаллах $\text{GdFe}_3(\text{BO}_3)_4$ [14] и $\text{YFe}_3(\text{BO}_3)_4$ [6]. Общая намагниченность гадолиниевого ферробората (кривая 2 на рис. 7) складывается из намагниченностей железной и гадолиниевой подсистем $\mu_{\text{FeGd}} = \mu_{\text{Gd}} + \mu_{\text{Fe}}$.

Полевая зависимость намагниченности подсистемы железа $\mu_{\text{Fe}}(H)$, измеренная в $\text{YFe}_3(\text{BO}_3)_4$ [9], имеет существенно меньший наклон (рис. 7, кривая 1), чем общая намагниченность в $\text{GdFe}_3(\text{BO}_3)_4$, что говорит о существенном вкладе гадолиниевой подсистемы $\mu_{\text{Gd}}(H)$. Величина обменного поля, вычисленная из $\mu_{\text{Fe}}(H)$, равна $H_E^{\text{Fe}} \approx 700$ кЭ, значение магнитной восприимчивости для подсистемы железа равно $\chi_{\perp}^{\text{Fe}} \approx 0.107 \cdot 10^{-3} \text{ см}^3/\text{г}$ [6].

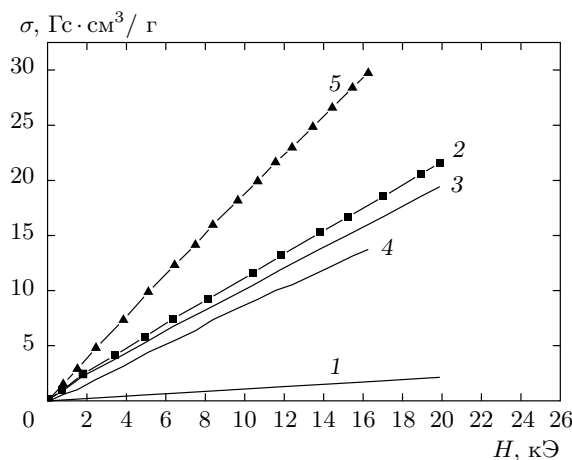


Рис. 7. Полевая зависимость намагниченности в $GdFe_3(BO_3)_4$ (2), $YFe_3(BO_3)_4$ (1), $GdFe_{2.1}Ga_{0.9}(BO_3)_4$ (5) и расчетный вклад ионов Fe^{3+} (4) и Gd^{3+} (3) в общую намагниченность в $GdFe_{2.1}Ga_{0.9}(BO_3)_4$

С учетом этого значения из полевой зависимости намагниченности $GdFe_3(BO_3)_4$ получаем магнитную восприимчивость для подсистемы гадолиния $\chi_{\perp}^{Gd} \approx 0.96 \cdot 10^{-3} \text{ см}^3/\text{г}$, полевая зависимость гадолиниевой подсистемы также приведена на рисунке. Считая, что в $GdFe_{2.1}Ga_{0.9}(BO_3)_4$ вклад этой подсистемы $\mu_{Gd}(H)$ не изменяется, из полной намагниченности этого соединения (кривая 5 на рис. 7) [13] получим полевую зависимость намагниченности разбавленной подсистемы железа $\mu_{FeGa}(H)$ (кривая 4 на рис. 7). Соответствующее ей значение магнитной восприимчивости равно $\chi_{\perp}^{FeGa} \approx 0.85 \cdot 10^{-3} \text{ см}^3/\text{г}$, отсюда значение обменного поля $H_E^{FeGa} \approx 63 \text{ кЭ}$. При вычислении этого значения использована намагниченность насыщения подсистемы железа $M_s = 51 \text{ Гс}\cdot\text{см}^3/\text{г}$, рассчитанная с учетом диамагнитного замещения.

Из выражения для энергетической щели $\nu_c = 30 \text{ ГГц}$ получим значение поля анизотропии $H_A^{total} \approx 0.95 \text{ кЭ}$. Считая, что поле магнитной анизотропии подсистемы гадолиния $H_A^{Gd} = 1.52 \text{ кЭ}$ [11] осталось неизменным, получим магнитоанизотропный вклад диамагнитно разбавленной подсистемы железа $H_A^{FeGa} = -0.57 \text{ кЭ}$. По сравнению с $H_A^{Ge} = -1.44 \text{ кЭ}$ для незамещенного $GdFe_3(BO_3)_4$ поле анизотропии H_A^{FeGa} уменьшилось примерно в 2.5 раза. Отметим, что такой способ оценки полей обмена и анизотропии является приближенным, так как намагниченности подсистем железа и гадолиния здесь считаются независимыми, т. е. не учты-

вается обменное взаимодействие между подсистемами. Тем не менее понятно, что диамагнитное разбавление подсистемы железа уменьшает ее вклад в магнитную анизотропию кристалла, что приводит, в свою очередь, к увеличению полной анизотропии кристалла, стабилизирующей легкоплоскостное состояние. По-видимому, по этой причине кристалл $GdFe_{2.1}Ga_{0.9}(BO_3)_4$ остается легкоплоским во всей области существования магнитного порядка, а критическое поле перехода в индуцированное легкоплоскостное состояние увеличилось почти вдвое по сравнению с незамещенным кристаллом.

4. ВЫВОДЫ

Исследование АФМР и теплоемкости в $GdFe_{2.1}Ga_{0.9}(BO_3)_4$ показывает, что диамагнитное разбавление ионов Fe^{3+} ионами галлия ведет не только к уменьшению обменного поля и снижению температуры Нееля, но и к существенному изменению магнитной фазовой диаграммы. По сравнению с незамещенным $GdFe_3(BO_3)_4$ критическое поле фазового перехода в индуцированное легкоплоскостное состояние для $\mathbf{H} \parallel \mathbf{c}$ существенно увеличилось и имеет слабую зависимость от температуры. Фазовый переход в индуцированное легкоплоскостное состояние в магнитном поле, лежащем в базисной плоскости, не наблюдается, по крайней мере, в полях до 60 кЭ.

Температура Нееля, определенная из теплоемкости, равна 17 К, это значение подтверждается данными по магнитному резонансу и магнитными измерениями. Оценки показывают, что в результате диамагнитного разбавления обменное поле в подсистеме железа уменьшилось с 700 кЭ до 63 кЭ, а вклад этой подсистемы в магнитную анизотропию также уменьшился с 1.44 кЭ до 0.57 кЭ. Такое уменьшение магнитоанизотропного вклада подсистемы железа увеличило суммарное поле анизотропии кристалла, в результате этого в $GdFe_{2.1}Ga_{0.9}(BO_3)_4$ спонтанный переход в легкоплоскостное состояние отсутствует, и кристалл остается легкоплоским во всей области существования магнитного порядка.

Работа выполнена при финансовой поддержке РФФИ (грант № 10-02-00765а).

ЛИТЕРАТУРА

1. D. Jaque, J. Alloys. Comp. **323–324**, 204 (2001).

2. X. Chen, Z. Luo, D. Jaque et al., *J. Phys.: Cond. Matter* **13**, 1171 (2001).
3. А. М. Калашникова, В. В. Павлов, Р. В. Писарев и др., *Письма в ЖЭТФ* **80**, 339 (2004).
4. А. К. Звездин, С. С. Кротов, А. М. Кадомцева и др., *Письма в ЖЭТФ* **81**, 335 (2005).
5. А. К. Звездин, Г. П. Воробьев, А. М. Кадомцева и др., *Письма в ЖЭТФ* **83**, 600 (2006).
6. А. М. Кадомцева, Ю. Ф. Попов, Г. П. Воробьев и др., *Письма в ЖЭТФ* **87**, 45 (2007).
7. А. М. Кадомцева, Ю. Ф. Попов, Г. П. Воробьев и др., *ФНТ* **36**, 640 (2010).
8. А. И. Панкрац, Г. А. Петраковский, Л. Н. Безматерных, В. Л. Темеров, *ФТТ* **50**, 77 (2008).
9. C. Ritter, A. Vorotunov, A. Pankrats et al., *J. Phys.: Cond. Matter* **10**, 365209 (2008).
10. P. Fischer, V. Pomjakushin, D. Sheptyakov et al., *J. Phys.: Cond. Matter* **18**, 7975 (2006).
11. А. И. Панкрац, Г. А. Петраковский, Л. Н. Безматерных, О. А. Баюков, *ЖЭТФ* **126**, 887 (2004).
12. С. А. Харламова, С. Г. Овчинников, А. Д. Балаев и др., *ЖЭТФ* **128**, 1252 (2005).
13. A. Pankrats, G. Petrakovskii, A. Kartashev et al., *J. Phys.: Cond. Matter* **21**, 436001 (2009).
14. L. N. Bezmaternykh, S. G. Ovchinnikov, A. D. Balaev et al., *J. Magn. Magn. Mat.* **272**, E359 (2004).
15. L. N. Bezmaternykh, V. L. Temerov, I. A. Gudim, and N. A. Stolbovaya, *Cryst. Rep.* **50**, 97 (2005).
16. В. И. Тугаринов, И. Я. Макиевский, А. И. Панкрац, *ПТЭ* **3**, 1 (2004).
17. R. Z. Levitin, E. A. Popova, R. M. Chtsherbov et al., *Письма в ЖЭТФ* **79**, 531 (2004).
18. Г. А. Петраковский, Л. С. Емельянова, В. Г. Поздняков, В. К. Королев, *ФТТ* **26**, 1200 (1984).
19. А. А. Демидов, Д. В. Волков, *ФТТ* **53**, 926 (2011).
20. А. М. Кузменко, А. А. Мухин, В. Ю. Иванов et al., Book of Abstract «MISM-2008», Moscow, June 20–25, 648 (2008).
21. А. Г. Гуревич, *Магнитный резонанс в ферритах и антиферромагнетиках*, Наука, Москва (1973).